Hermann 型作用の主軌道の 部分多様体幾何的特徴づけ

小池 直之

東京理科大学理学部数学科 koike@ma.kagu.tus.ac.jp

2011年3月21日

目次

- Hermann 型作用
- ② 等焦部分多様体
- ◎ 複素等焦部分多樣体
- プロパー複素等径部分多様体
- ⑤ プロパー複素等焦部分多様体
- 先行結果
- ◎ 今回得た結果
- ◎ 証明の概略

1. Hermann 型作用

Hermann 型作用

G/K: 非コンパクト型対称空間

 $G_{\kappa}/K:G/K$ のコンパクト双対

H: Gの対称部分群

 θ : $(\operatorname{Fix} \theta)_0 \subset K \subset \operatorname{Fix} \theta$ を満たす G の Cartan 対合

au : $(\operatorname{Fix} au)_0 \subset H \subset \operatorname{Fix} au$ を満たす G の対合

必要ならば、H をその適当な共役群に置き換えることにより、 $\theta \circ \tau = \tau \circ \theta$ と仮定してよい。

 $H_{\kappa}: H$ の $H\cap K$ に関するコンパクト双対

 $H_\kappa \, \curvearrowright \, G_\kappa/K$ は $\mathsf{Hermann}$ 作用とよばれ、 $H \, \curvearrowright \, G/K$ は $\mathsf{Hermann}$ 型作用とよばれる。

Hermann 型作用

$$G/K \neq ???$$
 のとき、

$$[H_{\kappa}]$$
 \in $\{G_{\kappa}/K$ 上の Hermann 作用の軌道同値類 $\}$ \updownarrow $1:1$ $[H]$ \in $\{G/K$ 上の Hermann 型作用の軌道同値類 $\}$

2. 等焦部分多様体

等焦部分多樣体

$$G/K$$
 : 対称空間

$$M \hookrightarrow G/K$$

$$v \in T^{\perp}_x M$$

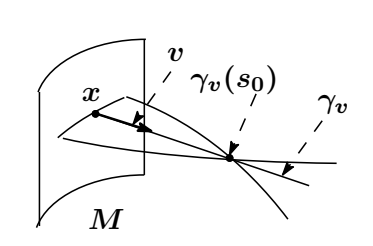
$$\gamma_v\,:\,\gamma_v'(0)=v$$
 となる法測地線

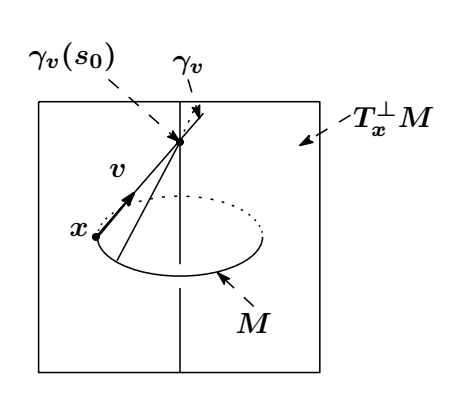
定義

$$s_0 \ (\in \mathbb{R}) \,:\, M$$
 の γ_v に沿うフォーカル半径

$$\displaystyle \ \Longleftrightarrow \ \gamma_v(s_0) : \gamma_v$$
 に沿う M のフォーカル点

等焦部分多樣体





 $A_v: M$ のvに対する形作用素

$$R: G/K$$
 の曲率テンソル , $R(v) := R(\cdot, v)v$

$$Y_X\,:\,Y(0)=X\,(\in T_xM)$$
 となる γ_v に沿う強 M ヤコビ場

 Y_X は、次のように記述される:

$$Y_X(s) = P_{\gamma_v|_{[0,s]}}(Q_v(s)X)$$

$$\left(egin{array}{c} P_{\gamma_v|_{[0,s]}}: \, \gamma_v|_{[0,s]}$$
に沿う平行移動 $Q_v(s):=\cos(s\sqrt{R(v)})-rac{\sin(s\sqrt{R(v)})}{\sqrt{R(v)}}\circ A_v \end{array}
ight)$

M が平坦な切断をもつ、つまり、

 $\Sigma_x := \exp^\perp(T_x^\perp M) : (orall \, x \in M)$ が平坦かつ全測地的であるとする。

このとき、強MヤコビでないMヤコビ場は、零点をもたない。 それゆえ、次の事実が成り立つ:

事実 2.1.

$$s_0 \ (\in \mathbb{R}) : \gamma_v$$
 に沿う M のフォーカル半径 $\iff\exists\, X (
eq 0) \in T_x M ext{ s.t. } Y_X(s_0) = 0 \ \iff \operatorname{Ker} Q_v(s_0)
eq \{0\}$

定義 (Terng-Thorbergsson)

M: 等焦部分多樣体

- $\stackrel{\displaystyle\Longleftrightarrow}{\displaystyle\Longleftrightarrow}$
- M はコンパクトである
- Mの法ホロノミー群は自明である
- M は平坦な切断をもつ
- M の任意の平行法ベクトル場 v に対し、 γ_{v_x} に沿うフォーカル半径達は $x (\in M)$ によらず一定である

3. 複素等焦部分多樣体

G/K: 非コンパクト型対称空間

 $M \hookrightarrow G/K:$ 平坦な切断をもつ部分多様体

$$egin{aligned} Q_v^{ ext{c}}(z) &\in ((T_x M)^{ ext{c}})^* \otimes (T_x M)^{ ext{c}} \ & \Longleftrightarrow \ Q_v^{ ext{c}}(z) := \cos(z \sqrt{R(v)^{ ext{c}}}) - rac{\sin(z \sqrt{R(v)^{ ext{c}}})}{\sqrt{R(v)^{ ext{c}}}} \circ A_v^{ ext{c}} \ & (z \in \mathbb{C}) \end{aligned}$$

定義 (K)

$$z_0 \ (\in \mathbb{C}) : M$$
 の γ_v に沿う複素フォーカル半径 $\Longleftrightarrow \operatorname{Ker} Q_v^{\operatorname{c}}(z_0)
eq \{0\}$

複素等焦部分多樣体

注意1

 γ_v に沿う複素フォーカル半径は、 A_v と R(v) のみで決まる。

注意 2

外の空間がユークリッド空間のとき、

$$Q_v^{\rm c}(z) = {\rm id} - z A_v^{\rm c}$$

となり、それゆえ、 γ_v に沿う複素フォーカル半径達は、 A_v の固有値の逆数 (v に対する主曲率半径) 達と一致する (よって、すべて、実数となる)。 より一般に、外の空間が擬ユークリッド空間のとき、

$$Q_n^{\rm c}(z) = \mathrm{id} - z A_n^{\rm c}$$

となり、それゆえ、 γ_v に沿う複素フォーカル半径達は、 A_v^c の固有値の逆数 (v に対する複素主曲率半径) 達と一致する。ここで、 A_v は、実対角化可能であるとは限らないことを注意しておく。

複素等焦部分多樣体

 $\mathcal{FR}_v: \gamma_v$ に沿う M のフォーカル半径の全体

 $\mathcal{CFR}_v:\gamma_v$ に沿う M の複素フォーカル半径の全体

事実 3.1.

$$\mathcal{FR}_v \subset \mathcal{CFR}_v$$

定義 (K)

M: 複素等焦部分多樣体

(正確には、等複素焦部分多様体とよぶべき)

- M は完備である
- Mの法ホロノミー群は自明である
- *M* は平坦な切断をもつ
- ullet M の任意の平行法ベクトル場 v に対し、 γ_{v_x} に沿う複素フォーカル半径達は $x(\in M)$ によらず一定である



$$f: M \, \hookrightarrow \, G/K \, \, : \, \, C^\omega \,$$
 部分多樣体

$$v \in T_x^{\perp} M$$

$$f^{
m c}:M^{
m c}\hookrightarrow G^{
m c}/K^{
m c}$$
 $(f:M\hookrightarrow G/K$ の複素化)

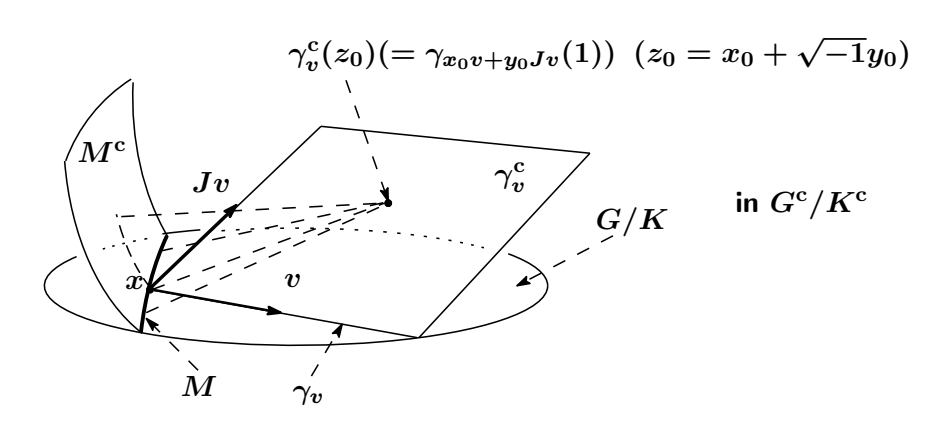
事実 3.2(K).

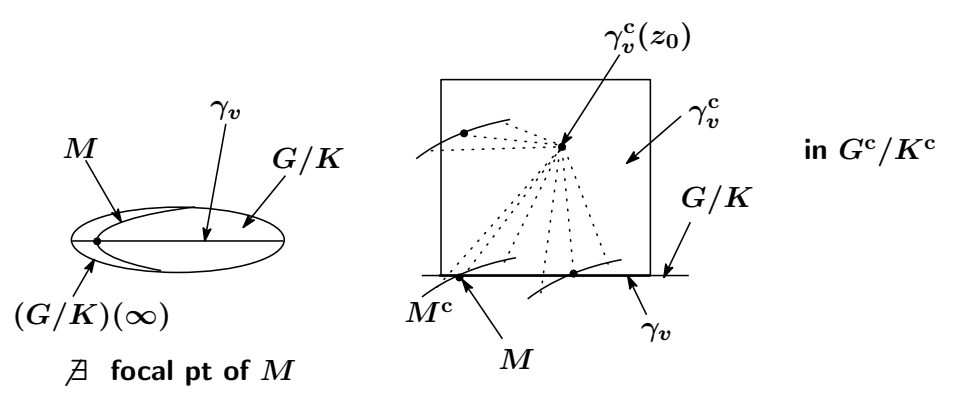
$$z_0 \ (\in \mathbb{C}) : M$$
 の γ_v に沿う複素フォーカル半径

$$\iff \gamma_v^{
m c}(z_0): s\mapsto \gamma_v^{
m c}(sz_0)$$
 に沿う $M^{
m c}$ のフォーカル点

$$\left(\gamma_v^{
m c} \left(: \mathbb{C} o G^{
m c}/K^{
m c}
ight) \ : \ \gamma_v \$$
の複素化 $ight)$

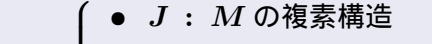
複素等焦部分多樣体





定義

(J,g): M のアンチケーラー構造



$$\det$$
 $\begin{cases} \bullet & g: M \text{ のニュートラル計量} \\ \bullet & g(JX,JY) = -g(X,Y) \text{ } (\forall X,Y \in TM) \\ \bullet & \nabla J = 0 \end{cases}$

例 1.

$$S^m(\bar{c}) \subset H^{m+1}(c)$$

 $v\,:\,S^m(ar c)$ の点 $\,x\,$ における単位法ベクトル

 $X\,:\,S^m(ar{c})$ の点 $\,x$ における単位接ベクトル

このとき、次の関係式が成り立つ:

$$\begin{split} Q_v^{\rm c}(z)(X) &= \left(\cosh(\sqrt{-c}z) - \frac{\sqrt{\bar{c}-c}}{\sqrt{-c}}\sinh(\sqrt{-c}z)\right)X \\ Q_v^{\rm c}(z)(X) &= 0 \ \Leftrightarrow \ \tanh(\sqrt{-c}z) = \frac{\sqrt{-c}}{\sqrt{\bar{c}-c}} \, (<1) \\ &\Leftrightarrow z = \frac{1}{\sqrt{-c}} \left(\operatorname{arctanh} \frac{\sqrt{-c}}{\sqrt{\bar{c}-c}} + j\pi\sqrt{-1} \right) \end{split}$$

複素等焦部分多樣体

事実 3.3.

$$S^m(ar{c})\,(\subset H^{m+1}(c))$$
 に対し、次が成り立つ:

$$\mathcal{CFR}_v = \{rac{1}{\sqrt{-c}}\left(\mathrm{arctanh}rac{\sqrt{-c}}{\sqrt{ar{c}-c}} + j\pi\sqrt{-1}
ight) \mid j \in \mathbb{Z}\}$$
 ,

$$\mathcal{FR}_v = \{ \frac{1}{\sqrt{-c}} \operatorname{arctanh} \frac{\sqrt{-c}}{\sqrt{\bar{c} - c}} \}.$$

$$H^{m+1}(c)(=SO_0(1,m+1)/SO(m+1))$$
 $S^m(ar{c})$ γ_v^c $\gamma_v(z_2)$ $\gamma_v(z_1)$ $\gamma_v(z_0)$ in $SO(m+2,\mathbb{C})/SO(m+1,\mathbb{C})$

in
$$SO(m+2,\mathbb{C})/SO(m+1,\mathbb{C})$$

$$z_j := rac{1}{\sqrt{-c}} \left(\mathrm{arctanh} rac{\sqrt{-c}}{\sqrt{ar{c}-c}} + j\pi \sqrt{-1}
ight)$$

例 2.

$$H^m(\bar{c})\subset H^{m+1}(c)$$

 $v: H^m(ar{c})$ の点x における単位法ベクトル

 $X: H^m(ar{c})$ の点x における単位接ベクトル

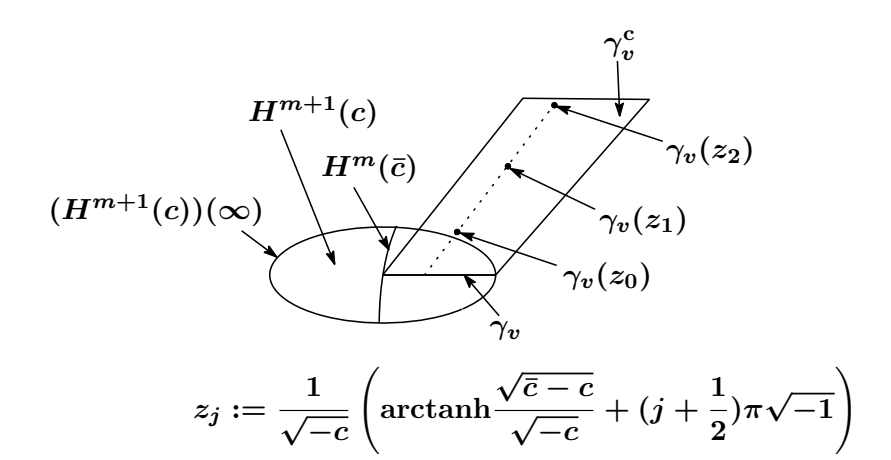
このとき、次n関係式が成り立つ:

$$\begin{split} Q_v^{\rm c}(z)(X) &= \left(\cosh(\sqrt{-c}z) - \frac{\sqrt{\bar{c}-c}}{\sqrt{-c}}\sinh(\sqrt{-c}z)\right)X \\ Q_v^{\rm c}(z)(X) &= 0 \ \Leftrightarrow \ \tanh(\sqrt{-c}z) = \frac{\sqrt{-c}}{\sqrt{\bar{c}-c}} \ (>1) \\ &\Leftrightarrow \ \tanh(\sqrt{-c}z + \frac{\pi}{2}\sqrt{-1})(=\frac{1}{\tanh(\sqrt{-c}z)}) = \frac{\sqrt{\bar{c}-c}}{\sqrt{-c}} \ (<1) \\ &\Leftrightarrow z = \frac{1}{\sqrt{-c}} \left(\arctanh\frac{\sqrt{\bar{c}-c}}{\sqrt{-c}} + (j+\frac{1}{2})\pi\sqrt{-1}\right) \end{split}$$

事実 3.4.

$$H^m(ar{c}) \ (\subset H^{m+1}(c))$$
 に対し、次が成り立つ: $\mathcal{CFR}_v = \{rac{1}{\sqrt{-c}} \left(\mathrm{arctanh} rac{\sqrt{ar{c}-c}}{\sqrt{-c}} + (j+rac{1}{2})\pi\sqrt{-1}
ight) \ |j\in\mathbb{Z}\} \ ,$

$$\mathcal{FR}_v = \emptyset$$



例 3.

 $\mathbb{R}^m \subset H^{m+1}(c)$ (horosphere)

 $v\,:\,\mathbb{R}^m$ の点 $\,x$ における単位法ベクトル

 $X:\mathbb{R}^m$ の点x における単位接ベクトル

このとき、次の関係式が成り立つ:

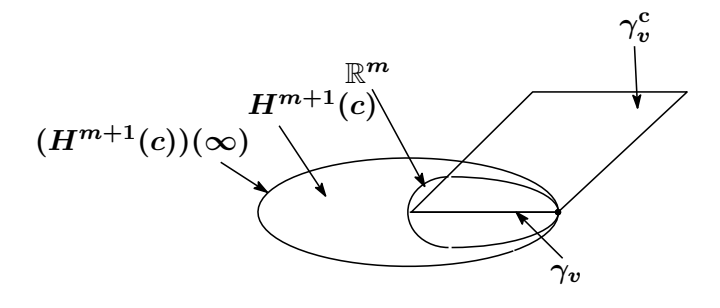
$$egin{aligned} Q_v^{
m c}(z)(X) &= \left(\cosh(\sqrt{-c}z) - \sinh(\sqrt{-c}z)
ight)X = e^{-\sqrt{-c}z}X \ Q_v^{
m c}(z)(X)
eq 0 \ \ (orall z \in \mathbb{C}) \end{aligned}$$

複素等焦部分多樣体

事実 3.5.

$$\mathbb{R}^m \ (\subset H^{m+1}(c))$$
 に対し、次が成り立つ: $\mathcal{FR}_v = \mathcal{CFR}_v = \emptyset$

複素等焦部分多樣体



事実 3.6.

M を $H^m(c)$ 内の $||A_v||_{\mathrm{op}} < \sqrt{-c} \ (orall \ v \in S^\perp M)$ を満たす任意の部分多様体とするとき、

M 上の ε チューブ $t_{\varepsilon}(M)$ は、等焦部分多様体になってしまうが、複素等焦部分多様体ではない。

ここで、 ε は、十分小さな正の数である。

この事実から、非コンパクト型対称空間内の非コンパクトな部分 多様体に対しては、等焦性は本質的な性質ではないが、複素等焦 性は本質的な性質であることが伺える。 4. プロパー複素等径部分多様体

プロパー複素等径部分多様体

 $M \hookrightarrow \mathbb{R}^m$

A:M の形テンソル

定義

M: 複素等径部分多様体

- $\stackrel{\displaystyle\Longleftrightarrow}{\displaystyle\Longleftrightarrow}$
- M の法ホロノミー群は自明である
- ullet M の各平行法ベクトル v に対し、
 - $A_{v_x}^{
 m c}$ の固有値らは、x によらず
 - 一定である

プロパー複素等径部分多様体

定義

M: プロパー複素等径部分多様体



- M は複素等径部分多様体である
- ullet 各法ベクトルwに対し、 $A_w^{
 m c}$ は擬正規直交基底に関して対角化可能である

注意

V: 非退化内積をもつベクトル空間,A:V の線形変換 A^{c} がある擬正規直交基底に関して対角化可能であるとき A はプロパーであるという。

同様に、(無限次元) 擬ヒルベルト空間内で複素等径部分 多様体、および、プロパー複素等径部分多様体の概念が 定義される。 プロパー複素等径部分多様体

5. プロパー複素等焦部分多様体

G/K: 非コンパクト型対称空間

$$egin{aligned} \widetilde{M} := (\pi \circ \phi)^{-1}(M) &\hookrightarrow H^0([0,1],\mathfrak{g}) \ &\downarrow \phi \ &G \ &\downarrow \pi \ &M &\hookrightarrow G/K \end{aligned}$$

事実 5.1(K).

M: 複素等焦部分多樣体

 $\iff \widetilde{M}:$ 複素等径部分多樣体

プロパー複素等焦部分多様体

定義

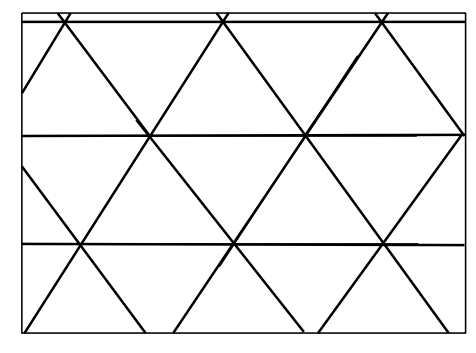
M:プロパー複素等焦部分多様体

 \iff $\widetilde{M}:$ プロパー複素等径部分多様体

プロパー複素等焦部分多様体

事実 5.2.

コンパクト型対称空間内の等焦部分多様体 M の任意の点xにおけるフォーカル集合は、法空間 $T_x^\perp M$ 内の無限に多くの超平面達の和集合の法指数 写像による像として与えられる。また、それらの 超平面に関する鏡映達によって生成される群は、離散群、つまり、 $\mathbf{Coxeter}$ 群である。



 $T_{x_0}^{\perp}M$

事実 5.3.

 $M:C^{\omega}$ 複素等焦部分多様体

このとき、

M:プロパー複素等焦部分多様体

← ·

 M^c の任意の点 x におけるフォーカル集合は、法空間 $T_x^\perp(M^c)$ 内の無限に多くの複素超平面達の和集合の 法指数写像による像として与えられる。また、それら の超平面に関する位数 2 の複素鏡映達によって生成 される群は、離散群、つまり、 $\mathbf{Coxeter}$ 群である。

このように、プロパー複素等焦部分多様体は、 良い複素フォーカル構造をもつ複素等焦部分 多様体と解釈される。 6. 先行結果

先行結果

 $M \hookrightarrow \widetilde{M} :$ リーマン部分多様体

A:M の形テンソル, $R:\widetilde{M}$ の曲率テンソル

定義

$$M: ext{curvature-adapted} \ & \iff egin{cases} R(v)(T_xM) \subset T_xM & (orall \, x \in M, \; orall \, v \in T_x^\perp M) \ [A_v,R(v)] = 0 \ & (R(v):=R(\cdot,v)v) \end{cases}$$

事実 6.1(K).

Hermann 型作用の主軌道は、curvature-adapted かつプロパー複素等焦部分多様体である。

7. 今回得た結果

今回得た結果

G/K: 階数 r(>2) の非コンパクト型対称空間

定理1

G/K 内の余次元 2 以上の既約な C^{ω} 級の curv.-adapted プロパー複素等焦部分多様体は、ある Hermann 型作用の主軌道である。

定理 2

G/K のルート系が reduced であるとする。余次元 r の既約な C^ω 級のプロパー複素等焦部分多様体は、ある Hermann型作用の主軌道である。

8. 証明の概略

証明の概略

事実 8.1(等質性定理)(K).

G/K 内の余次元 2 以上の既約な C^{ω} 級のプロパー複素等焦部分多様体は、等質である。

事実 8.2(K).

等質な複素等焦部分多様体は、ある超複素極作用の主軌道 である。

事実 8.3(K).

全測地的軌道をもつ超複素極作用は、Hermann 型作用である。

証明の概略

定理1の証明の概略

M: 定理1の主張におけるようなプロパー複素等焦部分多様体

codim M > 2 & M: 既約

--->M:等質

事実 8.1

--->M:ある超複素極作用 $H \curvearrowright G/K$ の主軌道

事実 8.2

$M: {\sf curvature} ext{-}{\sf adapted}$

 $--->H \sim G/K$:全測地的軌道をもつ

 $---> H \sim G/K$: Hermann 型作用

事実 8.3

q.e.d.

定理2の証明の概略

M: 定理2の主張におけるようなプロパー複素等焦部分多様体

 $\operatorname{codim} M = \operatorname{rank} G/K > 2$, G/K のルート系: reduced

---> M: curvature-adapted

--->M: ある Hermann 型作用の主軌道

定理1

q.e.d.